

تحلیل پایداری آیروالاستیک پره‌های کامپوزیتی توربین بادی

استادیار، دانشگاه کاشان، دانشکده مهندسی مکانیک
کارشناس ارشد، دانشگاه کاشان، دانشکده مهندسی مکانیک

*احمدرضا قاسمی
محمدحسن طریقت

چکیده

آیروالاستیسیته منشاء اصلی وقوع ناپایداری در سازه‌هایی است که تحت تاثیر نیروهای آیرودینامیکی قرار می‌گیرند. از مهمترین این ناپایداری‌ها ارتعاشات کوپل خمش و پیچش است، که به آن فلاٹر گفته می‌شود. در این تحقیق به مطالعه پایداری آیروالاستیک پره کامپوزیتی توربین بادی پرداخته شده است. هندسه، لایه‌چینی و بارگذاری سازه کامپوزیتی پره توربین طراحی شده با سازه‌های موجود مورد ارزیابی قرار گرفته و برای مطالعه پدیده فلاٹر پره توربین، دو روش عددی و تحلیلی مورد استفاده قرار گرفته است. در مطالعه عددی پایداری آیروالاستیک، روش المان محدود و استاندارد سازه‌های هواپی استفاده شده است. بارگذاری پره به صورت سبعدی و دینامیکی انجام گرفته و پس از محاسبه مدهای خمشی و پیچشی وقوع فلاٹر در پره توربین مطالعه شده است. در بررسی تحلیلی، روش کلاسیک انتخاب شده و با انجام تحلیل‌های دو بعدی، سرعت فلاٹر تخمین زده می‌شود. نتایج روش عددی، ضربی اطمینان حدود ۴ برای تحلیل تنش و ۱.۳۹ برای پایداری آیروالاستیک را بیان می‌کند. در روش تحلیلی نیز ضربی اطمینان برابر ۱.۳۸ برای پایداری آیروالاستیک پره به دست می‌آید، که بیانگر تطابق مناسب نتایج دو روش است.

واژه‌های کلیدی: آیروالاستیسیته، توربین بادی، پره کامپوزیتی، فلاٹر، روش تحلیلی، روش المان محدود

Aeroelastic Analysis of Composite Wind Turbines Blades

A. R. Ghasemi

Assistant Professor, University of Kashan, Department of Mechanical Engineering

M. H. Tarighat

M.Sc., University of Kashan, Department of Mechanical Engineering

Abstract

Aeroelasticity is the main source of instability in structures under the influence of aerodynamic forces. One of the most important type of instabilities is coupled bending-torsional vibration, which is called flutter. In this paper, the aeroelastic stability of a composite wind turbine blade has been studied. Geometry, layup, and loading of the composite turbine blade have been compared with other structures. To study the phenomenon of the blade flutter, two numerical and analytical methods have been used. Finite Element Method (FEM), and JAR23 standard have been used in the numerical studies. Three-dimensional dynamic analysis of the blade loading has been carried out; the flutter phenomenon has been investigated in turbine blade by using the FEM that includes torsion and bending modes. Two-dimensional classical method of analytical analysis has been used to estimate flutter speed. Results of the numerical method provide safety factors of 4 and 1.39 for stress analysis and aeroelastic stability, respectively. Also, the analytical method gives the safety factor of 1.38 for aeroelastic stability, which has good agreement with the results of numerical method.

Keywords: Aeroelastic, Wind turbine, Composite blade, Flutter, Analytical solution, Finite element method

۱- مقدمه

در سازه‌هایی که تحت تأثیر نیروهای آیرودینامیکی می‌باشند، نوع طراحی متفاوت بوده و این نیروها می‌توانند باعث تغییر در خواص و ثابت‌های سازه، مانند ضریب سختی و فرکانس‌های طبیعی شوند. از این رو سازه دچار ناپایداری‌های شدیدی می‌شود، که با افزایش ضریب اطمینان طراحی نیز نمی‌توان از آن جلوگیری نمود. این تخریب در اثر مقدار نیروی معینی رخ می‌دهد و این مقدار نیرو نیز در اثر سرعت نسبی خاصی از جریان بوجود می‌آید، که به آن پدیده فلاٹر و به سرعت سیال در هنگام تخریب سرعت فلاٹر می‌گویند^[۱]. بنابراین با دانستن سرعت فلاٹر، می‌توان از این بودن سازه در برابر نیروهای آیرودینامیکی اطمینان حاصل نمود. در سازه‌هایی مانند هوایپیما، سرعت فلاٹر به عنوان سرعت حد در نظر گرفته می‌شود. سرعت حد سرعتی است که طبق تعریف، سرعت هوایپیما علاوه بر اینکه نباید از آن مقدار معین تجاوز کند، بلکه باید فاصله مناسبی از آن حد تعیین شده نیز داشته باشد. برای اطمینان از این بودن سازه‌های هوایپا در برابر پایداری آیرودینامیکی، از استاندارد سازه‌های هوایی (JAR23)^[۱] استفاده می‌شود^[۲]. مطابق این استاندارد، اگر برای یک سازه تحت تأثیر نیروهای آیرودینامیکی، آثایز مodal صورت پذیرد و فرکانس‌های طبیعی آن خمشی و پیچشی می‌توان، از به وجود نیامدن پدیده فلاٹر در محدوده سرعت سیال مطمئن بود. مطالعه پایداری آیرودینامیکی پره کامپوزیتی هوایپیما به شکل آزمایشی و تحلیل عددی بر اساس استاندارد سازه‌های هوایی JAR23 انجام شده است^[۳]. با گسترش تولید و استفاده از توربین‌های بادی علاوه بر مباحثی همچون طراحی سازه‌ای، طراحی آیرودینامیکی، انتخاب مواد و ساخت آنها، مباحث دیگری همچون خستگی، بهینه‌سازی و پایداری آیرودینامیکی مورد توجه محققین قرار گرفته است. به عنوان چندین نمونه می‌توان از مدل ریاضی بامگارت نام برد که این مدل ریاضی را برای تحلیل پره‌های توربین بادی و مقایسه نتایج تحلیلی با نتایج آزمایشی ارائه نموده است^[۴]. طراحی و بهینه‌سازی پره‌های توربین توسط زورکو و همکارش آیرودینامیکی سازه پره شینجو به بهینه‌سازی وزن و تحلیل آیرودینامیکی سازه پره کامپوزیتی یک هوایپیما به روش تحلیلی و عددی پرداخته و نتایج را با نتایج تجربی مقایسه نمود^[۶]. تحریک غیرخطی دینامیکی روتور توربین بادی در اثر نیروهای گریز از مرکز و کریولیس به شکل خطی و غیرخطی بهوسیله‌ی لارسن و نیلسن مورد بررسی قرار گرفته است^[۷]. یک مدل آیرودینامیک با

ترکیب حل معادلات ناویر استوکس و یک مدل الاستیک برای مطالعه رفتار آیرودینامیکی پره‌های توربین بادی توسط باکسنو و همکارش ارایه شد^[۸]. فاضل‌زاده و همکاران به مطالعه فلاٹر کویل خمش و پیچش پره توربین و اثرات جرم خارجی روی آن پرداخته‌اند^[۹]. لی و همکاران عملکرد و مشخصات آیرودینامیک پره‌های توربین بادی را به روش اجزای انعطاف‌پذیر دینامیکی مطالعه و یک مدل آیرودینامیکی بر مبنای تئوری اصلاح شده نواری^۲ ارایه نمودند^[۱۰]. در این پژوهش دو روش عددی و تحلیلی برای مطالعه پایداری آیرودینامیکی پره‌های کامپوزیتی توربین بادی ۶۰۰ کیلووات مورد استفاده قرار گرفته است. در حل عددی از روش المان محدود و از استاندارد سازه‌های هوایی (JAR)، استفاده شده است. پس از محاسبه بارهای آیرودینامیک و با در نظر گرفتن بارهای استاتیکی و دینامیکی، فرکانس‌های طبیعی و مودهای طبیعی سازه محاسبه شده و با توجه به فرکانس مودهای پیچشی و خمشی متوالی، ضریب اطمینان پایداری آیرودینامیک محاسبه شده است. در حل تحلیلی، پره توربین از یک مدل دو بعدی با دو درجه آزادی برای تخمین سرعت فلاٹر استفاده شده است. با داشتن سرعت فلاٹر و سرعت عملکرد توربین، ضریب اطمینان به دست می‌آید و در پایان، مقادیر ضریب اطمینان از دو روش تحلیلی و عددی مقایسه و صحت طراحی و عملکرد توربین ارزیابی می‌گردد.

۲- مطالعه عددی پایداری آیرودینامیک پره توربین ۲-۱- مدل سازی المان محدود

تحلیل عددی پره توربین با استفاده از نرم‌افزار المان محدود ANSYS [۱۱] انجام شده است. مدل المان محدود با توجه به ابعاد پره کامپوزیتی توربین بادی ۶۰۰ کیلووات تهیه شده و بالواره‌ی انتخابی، مناسب پره توربین بوده و در بیشتر طراحی‌ها مورد استفاده قرار می‌گیرد. ابعاد هندسی سازه‌ی پره مطابق جدول ۱ می‌باشد.

جدول ۱- ابعاد هندسی سازه پره کامپوزیتی توربین ۶۰۰ کیلووات

| | نوع ایرفویل | فاصله مقطع انتهایی تا مرکز روتور (متر) | نوع ایرفویل | فاصله مقطع انتهایی پیچش پره (درجه) |
|------------------|-------------------|---|-------------|---------------------------------------|
| ۱۵ | ۳۵۰ | NACA 63 ₂ -415 | | |
| طول پره (متر) | زاویه حمله (درجه) | نوك | ريشه | |
| ۲۱ | ۱۴ | ۲ | ۰.۴ | |

² Modified Strip Theory (MST)

^۱ Joint Aviation Requirements (JAR)

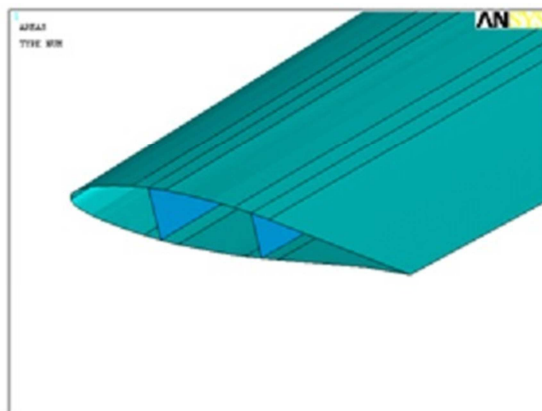
| جدول ۲- آزمون همگرایی و استخراج تعداد المان مطلوب پره | | | |
|---|-------------|------|---------|
| مدل | تعداد المان | تنش | جابجایی |
| (mm) | (MPa) | | |
| ۱۱۳۴ | ۵۸ | ۱۰۰۸ | ۱ |
| ۱۱۳۷ | ۶۲ | ۱۵۶۵ | ۲ |
| ۱۱۴۲ | ۶۷ | ۲۰۱۶ | ۳ |
| ۱۱۴۵ | ۶۸ | ۲۴۳۲ | ۴ |
| ۱۱۴۷ | ۶۹ | ۳۰۲۴ | ۵ |
| ۱۱۴۷ | ۶۹ | ۳۳۱۹ | ۶ |

سپس تعداد المانها را در هر مرحله افزایش می‌دهیم، تا مدل‌های المان محدود حاصل شده، دارای المانهای در حدود ۱۵۰۰، ۲۰۰۰، ۲۵۰۰، ۳۰۰۰، و ۳۳۰۰ المان باشند. آنگاه نتایج تحلیل تنش و جابجایی در نقاط مشخصی از مدل‌های مختلف مانند جدول ۲ ارزیابی شده است.

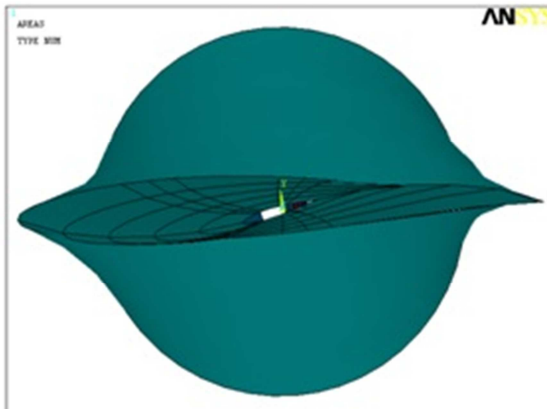
لازم به ذکر است که واحدهای تنش و جابجایی در جدول فوق اهمیت ندارند، زیرا هدف مقایسه بین نتایج می‌باشد. نتایج بین دو مدل با ۳۰۲۴ و ۳۳۱۹ المان همگرایی مطلوب را نشان می‌دهد و بنابراین تعداد المان مطلوب سازه ۳۳۱۹ المان تعیین شد.

همانطور که در شکل ۱ ملاحظه می‌شود دو تیر (اسپار) به منظور تحمل نیروهای آیروдинامیکی، وزن پره و ممانهای خمشی، در پره توربین تعییه شده است. مقطع پرهی توربین در طول پره علاوه بر باریک‌شوندگی (taper) دارای پیچش (twist) است، که مقدار پیچش ایرفویل نوک پره نسبت به ایرفویل ریشه ۱۵ درجه بوده و در شکل ۲ نشان داده شده است.

پره توربین باد بسیار شبیه یک تیر یک سر گیردار مخروطی است. ریشه پره تکیه‌گاه صلب و گیردار بوده و ابتدای آن آزاد می‌باشد، بنابراین جابجایی و چرخش در انتهای پره صفر است. با توجه به فیزیک و هندسه نمونه و در نظر گرفتن قابلیت لایه‌چینی کامپوزیتها، جهت شبکه‌بندی مدل، المان پوسه‌ای Shell99 انتخاب شده است. المان‌بندی سازه‌ی پره، از طریق تفکیک آن به چهار ناحیه‌ی مجزا که شامل پوسته و سه قسمت تیر اصلی و تیر فرعی است صورت می‌گیرد، که در هر قسمت از روش لایه‌چینی مخصوصی استفاده شده است. در این تحقیق از روش استخراج تعداد المان مطلوب برای تحلیل پره توربین ۶۶۰ کیلووات که به بررسی همگرایی معروف است، صورت گرفته است. ابتدا مدل هندسی را با حدود ۱۰۰۰ المان، المان ریزی می‌کنیم.



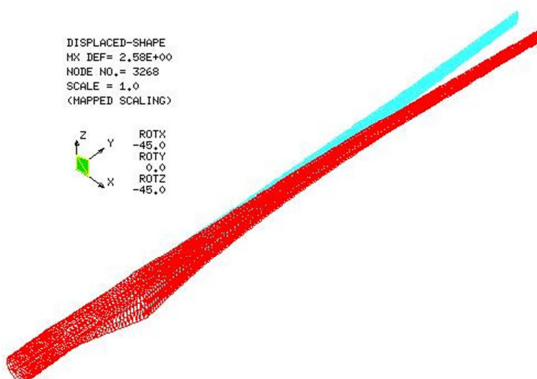
شکل ۱- دو تیر (اسپار) در طول پره



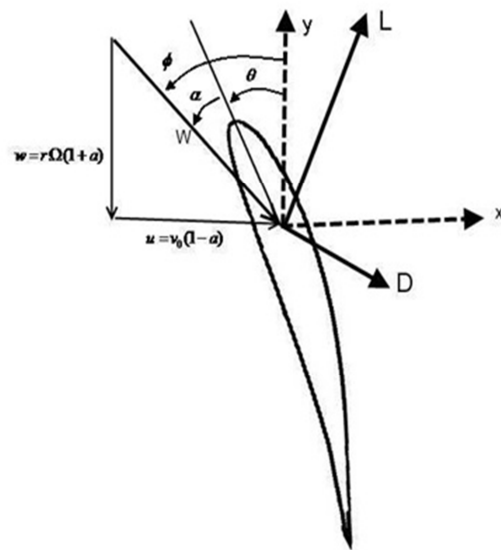
شکل ۲- پیچش ایرفویل نوک پره نسبت به ریشه

۴-۲- تحلیل سازه فلزی

هدف از تحلیل پره فلزی استخراج نارسایی‌های موجود در این مدل برای برطرف کردن آنها در مدل کامپوزیتی می‌باشد. تحلیل یک مدل فلزی از جنس آلومینیم ۲۰۲۴ مقادیر و جهت تنشهای اصلی را نشان می‌دهد. بارگذاری پره شامل بارهای آبرودینامیکی و گریز از مرکز می‌باشد. البته بارهای دیگری همانند نیروهای ژیروسکوپیک و گذرا در اثر خاصیت تصادفی پاد و نیروی ناشی از تغییر جهت روتور نیز به سازه پره وارد می‌گردد، که بسیار ناچیز بوده و در برابر بارهای عمدتی چون نیروهای آبرودینامیک و گریز از مرکز قابل چشم پوشی هستند. پس از تحلیل استاتیکی، حوزه‌های جابجایی و تنش مورد بررسی قرار گرفته است. تخریب در مدل فلزی بر اساس معیار تنش ون-مایسنس مورد ارزیابی قرار گرفته و ضریب اطمینان تسلیم ۱/۹۶ به دست آمده است. همچنین بیشترین جابجایی پره فلزی برابر ۲/۳ متر می‌باشد که در مقایسه با طول ۲۱ متری پره بیانگر شبیه معادل ۶/۳ درجه خیز در نوک پره می‌باشد. در چیدمان لایه‌های کامپوزیتی نحوه قرارگرفتن لایه‌ها به گونه‌ای است که بیشترین تعداد لایه در جهت تنشهای اصلی مدل فلزی قرار می‌گیرند. بعلاوه لایه‌های صفر درجه تنش کششی و فشاری بیشتری تحمل می‌کنند، در حالیکه لایه‌های ۴۵ درجه تنشهای برشی بیشتری تحمل می‌نمایند. شکل ۴ جابجایی پره در اثر نیروهای وارد و شکل ۵ توزیع تنش فون-مایز را در پره فلزی نشان می‌دهد.



شکل ۴- جابجایی پره فلزی در اثر نیروهای وارد



شکل ۳- دیاگرام نیروهای وارد بر یک مقطع پره توربین

جدول ۳- برآیند نیروها و گشتاورهای وارد به پره

| نیروهای محوری F_T | نیروهای دورانی F_Q |
|---------------------|----------------------|
| ۱۳۶۲ | ۹۰۱۷۷ |
| گشتاور دورانی M_T | گشتاور خمشی M_Q |
| ۱۷۴۰۱۵ | ۱۲۹۱۹۱۴ |

مقدار بیشینه ضریب برآ در زاویه حمله ۱۴ درجه برابر ۱/۲ و مقدار بیشینه ضریب پسا برابر ۰/۰۳ می‌باشد. مقادیر نیروها و گشتاورهای فوق در مرکز فشار هر مقطع وارد شوند، که توسط یک کد رایانه‌ای برای پره ۶۶۰ کیلووات با سرعت زاویه‌ای ۴/۴۵ رادیان بر ثانیه و در سرعت جریان باد ۲۵ متر بر ثانیه محاسبه شده و در جدول ۳ گنجانده شده است.

۴-۳- بارگذاری گریز از مرکز

نیروی گریز از مرکز، ناشی از دوران روتور با سرعت زاویه‌ای ω است که در صفحه دوران روتور به صورت کششی به پره وارد شده و مقدار آن از رابطه $F_{centrifugal} = mr\omega^2$ محاسبه می‌شود. این نیرو به مقدار سرعت زاویه‌ای پره و شعاع دوران که فاصله مرکز جرم از محور دوران می‌باشد، بستگی دارد. سرعت زاویه‌ای پره معادل با ۴/۴۵ رادیان بر ثانیه و شعاع هاب ۰/۸ متر در نظر گرفته شده است.

ضخامت آن ۶ میلیمتر است. مشخصات چیدمان تیر اصلی و فرعی در جدول ۵ نشان داده شده است.

۲-۶- تحلیل استاتیکی پره کامپوزیتی

برای اطمینان از این بودن سازه در برابر بارهای اعمالی باید تنש و کرنش را در جهات مختلف مورد مطالعه قرار داده و با استفاده از معیار شکست مناسب، ضریب اطمینان طراحی استاتیکی سازه را محاسبه نمود. از دیدگاه تئوری، تنش در ریشه‌ی پره که متأثر از نیروهای آیرودینامیکی، نیروی وزن و حداکثر گشتاور خمی است، از سایر نقاط پره بیشتر است. همچنین با توجه به خاصیت لایه‌ای بودن کامپوزیتها، لازم است کانتور تنش در لایه بحرانی که در آن احتمال شکست به بیشترین مقدار خود در کل سازه می‌رسد، مورد مطالعه قرار گیرد. به همین دلیل در این پژوهش تنش در جهت الیاف، تنش در جهت عمود بر الیاف و تنش برشی در ریشه پره، مورد تحلیل قرار گرفته و مقادیر بحرانی آن استخراج شده است. شکل ۶ کانتور تنش خمی در راستای الیاف و شکل ۷ در راستای عمود بر الیاف، در ریشه تیر و در لایه‌ای که عدد شکست ماکزیمم است، را نشان می‌دهد. بیشینه تنش در راستای الیاف در شکل ۶ حدود ۴۹ مگاپاسکال و در راستای عمود بر الیاف در شکل ۷ حدود ۸ مگاپاسکال می‌باشد.

جدول ۴- مشخصات لایه ارتوتروپیک شیشه/اپوکسی

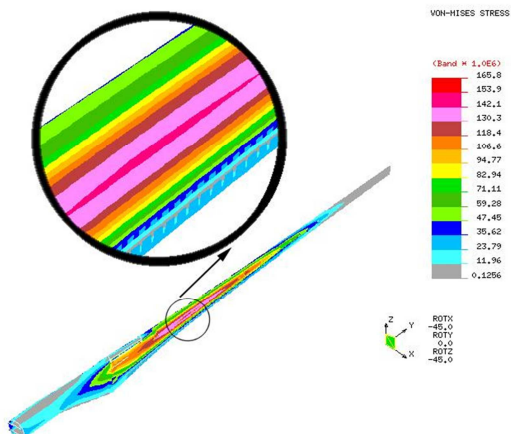
| E_x (GPa) | E_y (GPa) | E_s (GPa) |
|------------------|-------------------------------|-------------|
| ۷۶ | ۱۰۳ | ۷۱۷ |
| ν_{xy} (GPa) | ρ (kg / m ³) | V_f (%) |
| ۰,۲۸ | ۱,۲ | ۶۰ |

برای مطالعه ضریب اطمینان طراحی استاتیکی از معیار شکست Tsai-Wu به شکل زیر استفاده شده است [۱۳].

$$F_{xx}\sigma_x^2 + F_{yy}\sigma_y^2 + F_{ss}\sigma_s^2 + 2F_{xy}\sigma_x\sigma_y + F_x\sigma_x + F_y\sigma_y = 1 \quad (3)$$

در این معیار شکست، که برای لایه‌های ارتوترپیک استفاده می‌شود، ضرایب F_{xx} , F_{yy} , F_{ss} , F_{xy} و F_x و F_y تابع جنس ماده بوده و در جدول ۶ بیان شده‌اند. و مولفه‌های تنش نیز در حالت on-axis استفاده می‌شوند.

کمترین ضریب اطمینان برای تخریب در لایه بحرانی برابر ۴ به دست می‌آید. بیشترین جابجایی پره $1/4$ متر است که زاویه خیز نوک پره نسبت به ریشه را برابر $3/81$ درجه نشان می‌دهد.



شکل ۵- توزع تنش ون-مایسنس در پره فلزی

۲-۵- چیدمان لایه‌ها در سازه کامپوزیتی

پره کامپوزیتی از جنس شیشه / اپوکسی همراه با فوم طراحی شده است. فوم ضخیم و انعطاف‌پذیر بوده و تنها تنشهای برشی (τ_{xz} و τ_{yz}) را تحمل می‌کند. با توجه به بارهای اعمالی چیدمان مناسبی از فوم و لایه‌های ارتوتروپیک شیشه/اپوکسی که مشخصات آن در جدول ۴ بیان شده است [۱۳]، در قسمتهای مختلف پره شامل تیر اصلی و فرعی و همچنین پوسته، طراحی گردید. در طراحی تیر اصلی و فرعی پره کامپوزیتی از لایه‌های نک جهته در بال تیر و از لایه‌های بافت شده و لایه‌های فوم در جان تیر استفاده شده است. ضخامت هر لایه کامپوزیت 3.0 میلیمتر و ضخامت فوم 3 میلیمتر می‌باشد.

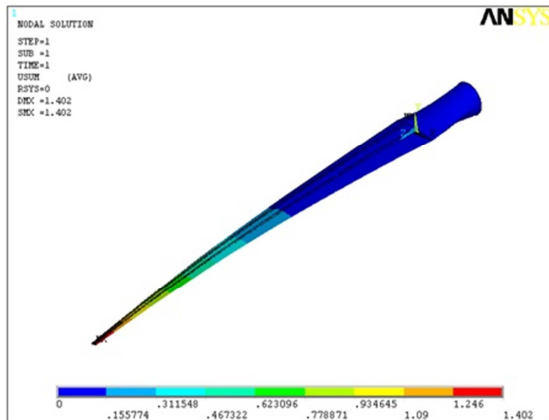
به دلیل کاهش بارهای وارد و ممانهای خمی از محل اتصال به ریشه تا نوک پره، احتیاجی به حفظ ضخامت یکسان در سراسر طول تیر اصلی نمی‌باشد و کاهش این ضخامت به وسیله‌ی کاهش تعداد لایه‌های کامپوزیتی، جهت کاهش وزن سازه و بهینه سازی مدل، ضروری به نظر می‌رسد. بنابراین هنگام تعیین آرایش لایه‌ها توجه به این نکته ضروری است که بال تیر وظیفه‌ی تحمل نیروهای خمی و جان تیر وظیفه‌ی انتقال نیروی برشی را بر عهده دارد. به همین منظور لایه‌های تشکیل دهنده‌ی بال تیر با زاویه صفر نسبت به محور طولی تیر اصلی و لایه‌های تشکیل دهنده‌ی جان تیر با زاویه ± 45 درجه قرار داده می‌شوند. نتایج حاصل از تحلیل مدل فلزی نیز خود تایید کننده‌ی این مطلب می‌باشد. جهت تنشهای اصلی در مدل فلزی، جهت چیدمان لایه‌ها در پره کامپوزیتی را نشان می‌دهد. جهت تنشهای اصلی در تحلیل مدل فلزی پره، در بال تیر راستای طولی بوده و در جان تیر و پوسته راستای 45 درجه می‌باشد. چیدمان پوسته $[\pm 45_5 / c / \pm 45_5]$ بوده و

جدول ۵- طراحی لایه ها برای تیراصلی و فرعی پره ۶۶۰ کیلووات

| چیدمان در تیر اصلی | چیدمان در جان تیر | ضخامت جان با تیر | ضخامت جان | ضخامت بال |
|----------------------------------|-----------------------------------|------------------|-----------|---------------------------|
| قسمت انتهایی از ریشه تا ۷ متر | $[\pm 45_{10} / c / \pm 45_{10}]$ | ۹ | | (mm) [0] ₄₆ |
| قسمت میانی از ۷ تا ۱۴ متر | $[\pm 45_9 / c / \pm 45_9]$ | ۸,۴ | | [0] ₃₆ |
| قسمت ابتدایی از ۱۴ تا ۲۱ متر | $[\pm 45_8 / c / \pm 45_8]$ | ۷,۸ | | [0] ₂₀ |
| چیدمان در تیر فرعی به طول ۱۰ متر | $[\pm 45_7 / c / \pm 45_7]$ | ۷,۲ | | [0] ₂₀ |

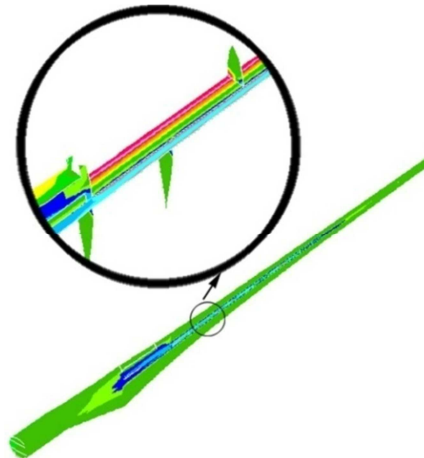
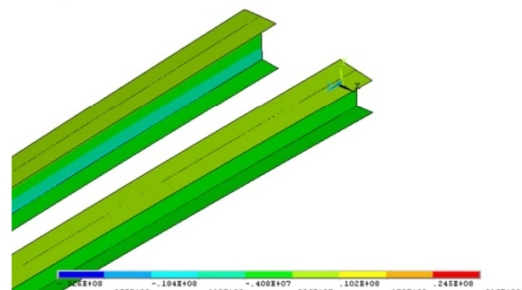
۷-۲- تحلیل ارتعاشی و آنالیز مودال سازه:

اثرات دینامیکی در مکانیزم توربین بادی به علت نوسانی بودن بارهای آبرو دینامیکی قابل توجه است. پاسخ یک سازه الاستیک به نرخ ترکیب مودهای ارتعاشی که فرکانس‌های مودال نام دارد و نیز به تابع نیروی متناوب توسط یک یا چند الگوی هندسی ارتعاشی مشخص، که مود شکل نامیده می‌شود، بستگی دارد.


شکل ۸- جابجایی نقاط و خیر نوک پره کامپوزیتی

برای تحلیل آبرو الاستیکی و اطمینان از عدم وقوع پدیده‌ی فلااتر، سازه کامپوزیتی مورد تحلیل مودال قرار گرفته و فرکانس‌های طبیعی سیستم به همراه مود شکل‌های آن بررسی شده است. نتایج تحلیل مودال سازه به روش المان محدود تا ۱۰ فرکانس طبیعی در جدول ۷ بیان شده است.

با یافتن مقادیر فرکانس‌های طبیعی، باید مودهای خمشی و پیچشی مربوط به این فرکانس‌ها تشخیص داده شود و مطابق با استاندارد سازه‌های هوایی، هرگاه دو مود متواالی خمشی و پیچشی بر هم منطبق شوند، پدیده‌ی فلااتر رخ می‌دهد. بنابراین ضریب اطمینان فلااتر پره، برابر با نسبت دو مود متواالی خمشی


شکل ۶- تنش در راستای الیاف در تیر اصلی

شکل ۷- تنش در راستای عمود بر الیاف در تیر اصلی

در شکل ۸ نمودار جابجایی نقاط در طول پره نشان داده شده است.

جدول ۶- ضرایب شکست ماده ارتوپریپک شیشه / اپوکسی

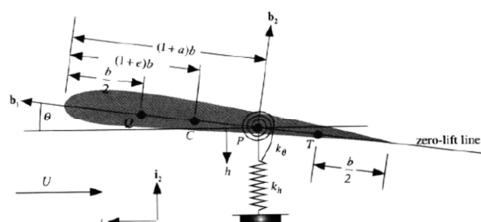
| $F_{xx} (GPa)^{-2}$ | $F_{yy} (GPa)^{-2}$ | $F_{xy} (GPa)^{-2}$ |
|---------------------|---------------------|---------------------|
| ۱,۵۴۳ | ۲۷۲,۳ | -۱۰۲,۷ |
| $F_{ss} (GPa)^{-2}$ | $F_x (GPa)^{-1}$ | $F_y (GPa)^{-1}$ |
| ۱۹۲,۹ | -۰,۶۹۷ | ۲۲,۷۸ |

۳- حل تحلیلی پایداری آیروالاستیک

در این بخش مطالعه تحلیلی آیروالاستیک پره کامپوزیتی توربین با دای با تقریب خوبی به صورت مدل دو بعدی دو درجه آزادی انجام شده و در شکل ۱۱ پارامترهای مربوط به ایرفویل انتخابی پره توربین، روی یک ایرفویل نمونه معین شده است. تحلیل مقاومت خمشی پره با یک فنر کششی- فشاری به ضریب سختی k_h و مقاومت پیچشی سازه با فنر پیچشی با ضریب سختی k_θ مدل سازی شده است. در این مدل نقطه C مرکز جرم ایرفویل، نقطه Q مرکز آیرودینامیکی و نقطه T برابر 75% از طول وتر است، که در تئوری مقاطع بال اهمیت زیادی دارد. با توجه به پارامترهای مشخص شده در شکل، که $x_\theta = e - a$ بیانگر فاصله نقطه مرتع P از مرکز آیرودینامیکی می‌باشد، به صورت زیر تعریف می‌شود:

$$x_\theta = e - a \quad (5)$$

در سیستم فوق مقادیر انرژی پتانسیل و جنبشی برابر است با :



شکل ۱۱- مدل سازی آیروالاستیک سازه به صورت دو بعدی و با دو درجه آزادی

$$P = \frac{1}{2} k_h h^2 + \frac{1}{2} k_\theta \theta^2 \quad (6)$$

$$K = \frac{1}{2} m v_c^2 + \frac{1}{2} I_c \dot{\theta}^2$$

در رابطه بالا C مرکز جرم و I_c ممان اینرسی حول مرکز جرم می‌باشد. با استفاده از روابط (۶) و به کمک معادله لاغرانژ، معادله حرکت سیستم به صورت زیر نوشته می‌شود:

$$m(\ddot{h} + bx_\theta \ddot{\theta}) + k_h h = -L \quad (7)$$

$$I_p \ddot{\theta} + mbx_\theta \ddot{h} + k_\theta \theta = b(0.5 + a)L$$

که در آن دو پارامتر L و I_p به شکل زیر تعریف می‌شوند:

$$I_p = I_c + mb^2 x_\theta^2 \quad (8)$$

$$L = 2\pi\rho_\infty b U^2 \theta$$

و پیچشی طبیعی پره خواهد بود. در تحلیل سازه‌ی پره مقدار

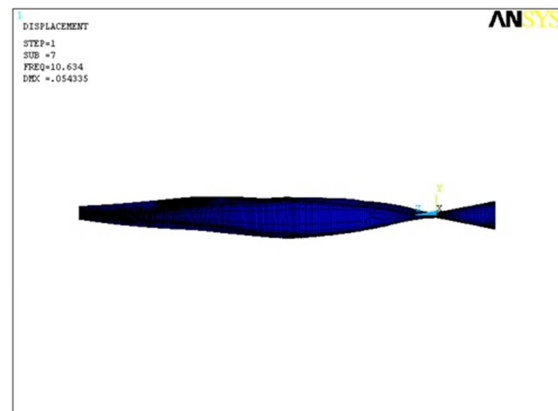
ضریب اطمینان به صورت زیر محاسبه می‌شوند:

$$n_1 = \frac{\omega_b}{\omega_0} = \frac{14.82}{10.63} = 1.39 \quad (4)$$

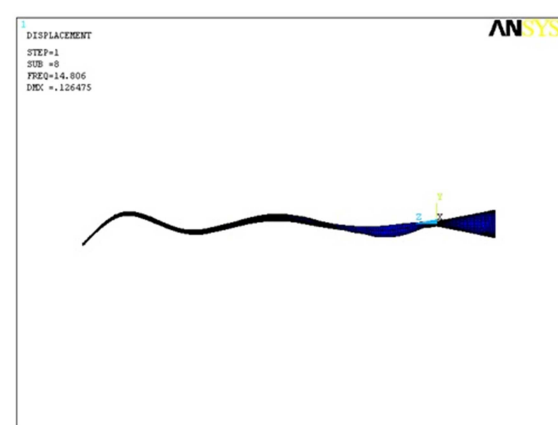
ضریب اطمینان آیروالاستیکی سازه (n_1) نسبت موجود بین دو مود متواالی خمث (ω_b) و پیچش (ω_0) می‌باشد. شکل ۹ مود پیچشی سازه و شکل ۱۰ مود خمشی پس از مود پیچشی سازه‌ی پره کامپوزیتی را نشان می‌دهد. مطابق استاندارد، ضریب اطمینان به دست آمده قابل قبول بوده و نشان از پایداری آیروالاستیکی آن به روش المان محدود دارد.

جدول ۷- مقادیر فرکانس‌های طبیعی پره کامپوزیتی (هرتز)

| فرکانس طبیعی | شماره مود | ۵ | ۴ | ۳ | ۲ | ۱ |
|--------------|-----------|-------|-------|-------|-------|------|
| فرکانس طبیعی | شماره مود | ۸,۵۱ | ۵,۴۴ | ۲,۹۸ | ۲,۵۲ | ۰,۸۹ |
| فرکانس طبیعی | شماره مود | ۱۰ | ۹ | ۸ | ۷ | ۶ |
| فرکانس طبیعی | شماره مود | ۱۶,۳۵ | ۱۵,۷۲ | ۱۴,۸۲ | ۱۰,۶۳ | ۹,۴۱ |



شکل ۹- مود پیچشی سازه پره کامپوزیتی



شکل ۱۰- مود خمشی پس از پیچش سازه پره کامپوزیتی

اکنون به منظور ساده سازی معادله (۶)، دو بسامد طبیعی زیر را به همراه چهار پارامتر بی بعد در نظر می گیریم:

$$\begin{aligned}\omega_h &= \sqrt{\frac{k_h}{m}} & r^2 &= \frac{I_p}{mb^2} & \sigma &= \frac{\omega_h}{\omega_\theta} \\ \omega_\theta &= \sqrt{\frac{k_\theta}{I_p}} & \mu &= \frac{m}{\rho_\infty \pi b^2} & V &= \frac{U}{b\omega_\theta}\end{aligned}\quad (9)$$

در رابطه بالا ۱۷ ساعع بی بعد ژیراسیون پره حول نقطه P بوده و σ نسبت فرکانس های پیچش و خمینه غیر کوپل، μ نسبت بدون بعد جرم به جرم هوای اطراف ایرفویل و V سرعت کاهش یافته یا نسبت سرعت جریان آزاد هوا می باشد. با توجه به این چهار پارامتر بی بعد خواهیم داشت:

$$\begin{bmatrix} s^2 + \sigma^2 & s^2 x_\theta + \frac{2V^2}{\mu} \\ s^2 x_\theta & s^2 r^2 - \frac{2V^2}{\mu} \left(\frac{1}{2} + a\right) \end{bmatrix} \begin{bmatrix} \bar{h} \\ \bar{b} \\ \bar{\theta} \end{bmatrix} = \begin{bmatrix} 0 \\ 0 \end{bmatrix} \quad (10)$$

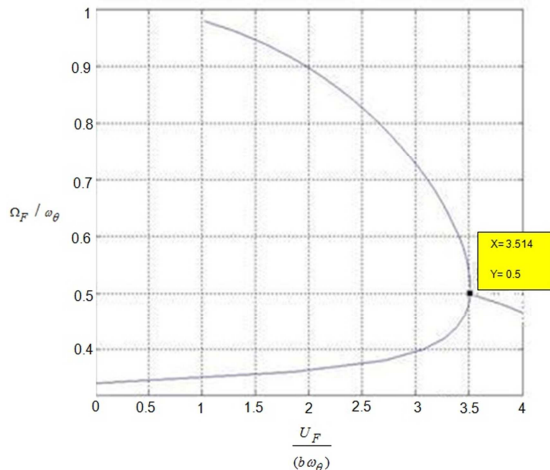
برای حل دستگاه معادله (۸)، دترمینان ضرایب را مساوی صفر قرار داده و دو ریشه مختلط پارامتر S به شکل $(\Gamma_{1,2} \pm i\Omega_{1,2}) / \omega_\theta$

Γ قسمت صحیح و Ω قسمت موهومی جواب و فرکانس طبیعی پره است. آنگاه نمودار تغییر فرکانس بر حسب افزایش سرعت کاهش یافته، مورد تحلیل قرار خواهد گرفت. ترسیم قسمت موهومی پارامتر S با قسمت حقیقی پارامتر V در یک نمودار امکان تعیین سرعت فلاٹر را فراهم می کند [۱۶].

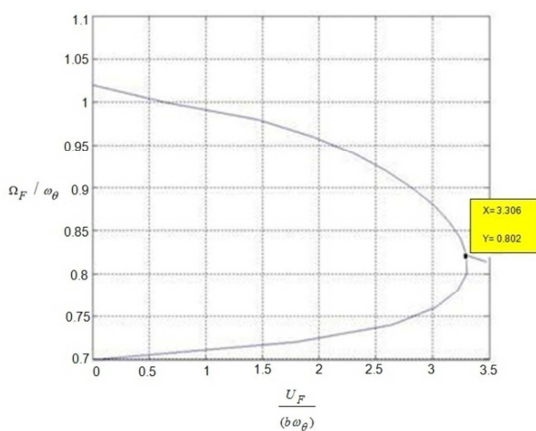
در این تحقیق با توجه به نوع ایرفویل پره توربین باد مقادیر $a = 0.2$, $e = 0.1$, $\mu = 20$, $r^2 = 0.24$ و مقدار σ از تحلیل المان محدود به دست آمده است. مطابق معادلات نوشته شده، نمودار تغییر فرکانس ها و افزایش سرعت باد به صورت پارامترهای بی بعد در شکل های ۱۲ و ۱۳ ترسیم شده است. محور افقی نمایانگر پارامتر بی بعد سرعت و محور عمودی قسمت موهومی بی بعد پارامتر S می باشد.

در شکل ۱۲ فرکانس اول و دوم ترسیم شده و در شکل ۱۳ فرکانس های پیچش و خمینه متواتی در حالت بحرانی که کمترین فاصله را از یکدیگر دارند، ترسیم شده است. در شکل ۱۳ هنگامی که $V = 0$ باشد، دو فرکانس با فاصله مناسبی از یکدیگر دور می باشند، اما با افزایش سرعت کاهش یافته دو فرکانس پیچشی و خمینه به یکدیگر نزدیک شده و در سرعت ۳/۳۱ هنگامی که فرکانس کاهش یافته برابر 0.82 می باشد، فلاٹر رخ می دهد. بنابراین سرعت فلاٹر و سرعت عملکرد واقعی توربین به صورت زیر محاسبه می شود:

$$V_F = \frac{U_F}{b\omega_\theta} = 3.31 \quad \frac{\Omega_F}{\omega_\theta} = 0.82$$



شکل ۱۲- ترسیم فرکانس های مدل نسبت به پارامتر V برای دو مود اول و دوم



شکل ۱۳- ترسیم فرکانس های مدل نسبت به پارامتر V برای دو مود پیچشی و خمینه بحرانی

در روابط بالا، ($b=1$) نصف طول وتر در ریشه پره بوده و فرکانس پیچشی پره برابر $10\sqrt{63}$ هرتز می باشد و سرعت وزش باد برای طراحی توربین نیز 25 متر بر ثانیه در نظر گرفته شده است [۱۲]. با داشتن سرعت فلاٹر و سرعت عملکرد توربین باد، ضریب اطمینان را می توان طبق رابطه (۱۳) محاسبه نمود.

$$n_2 = \frac{U_F}{V} = 1.38 \quad (13)$$

ضریب اطمینان به دست آمده قابل قبول بوده و نشان از اینمنی سازه و پایداری آیروالاستیکی آن در شرایط عملکرد و طراحی توربین دارد. نتایج مطالعه عددی و تحلیلی پره کامپوزیتی توربین بادی و اختلاف ناچیز بین ضریب اطمینان در دو حالت،

- [5] Jureczko, M., Pawlak, M., Mezyk, A., "Optimisation of wind turbine blades", Journal of Materials Processing Technology, Vol. 167, pp.463–471, 2005.
- [6] Guo, S., "Aeroelastic optimization of an aerobatic aircraft wing structure", Journal of Aerospace Science and Technology, Vol. 11, pp. 396-404, 2007.
- [7] Larsen, J.W., Nielsen, S.R.K., "Nonlinear parametric instability of wind turbine wings", Journal of Sound and Vibration, Vol. 299, pp. 64–82, 2007.
- [8] Baxevanou, C. A., Chaviaropoulos, P. K., Voutsinasc, S. G., Vlachos, N. S., "Evaluation study of a Navier–Stokes CFD aeroelastic model of wind turbine airfoils in classical flutter", Journal of Wind Engineering and Industrial Aerodynamics, Vol. 96, pp. 1425–1443, 2008.
- [9] Fazelzadeh, S. A., Mazidi, A., Kalantari, H., "Bending-torsional flutter of wings with an attached mass subjected to a follower force", Journal of Sound and Vibration, Vol. 323, pp. 148–162, 2009.
- [10] Lee, J. W., Lee, J. S., Han, J. H., Shin, H. K., "Aeroelastic analysis of wind turbine blades based on modified strip theory", Journal of Wind Engineering and Industrial Aerodynamics, Vol. 110, pp. 62–69, 2012.
- [11] ANSYS Help System, "Analysis Guide Theory Reference", Version 12.
- [12] Ghasemi, A. R., "Structural design of composite blades of wind turbines", M. Sc. Thesis, Iran University of Science and Technology, Supervisor: Shokrieh, M. M., 2002.
- [13] Tsai, S. W., "Composites Design, 4th edition", Thick Composites, 1988.
- [14] Eggleston, D. M., Stoddard, F. S., "Wind Turbine Engineering Design", Springer, 1987.
- [15] Hodges, D. H., Alvin, G., "Introduction To Structural Dynamics And Aeroelasticity", Cambridge University Press, 2002.
- [16] Ghasemi, A. R., Jahanshir, A., Tarighat, "M. H. Numerical and analytical study of aeroelastic characteristics of wind turbine composite blades", Wind and Structures, Vol. 18, No. 2 pp. 103-116, 2014.

نشان دهنده صحت مدلسازی المان محدود و دقت نتایج تحلیل
دوبعدی مقطع پره می باشد.

۴- نتیجه‌گیری

در این تحقیق سازه‌ی کامپوزیتی پره‌ی توربین بادی، از دیدگاه طراحی آیروالاستیکی به منظور پایداری در برابر بارهای استاتیکی، دینامیکی و آیروالاستیکی طراحی شده است. بارگذاری آیروالاستیکی همراه با وزن و بارگذاری گریز از مرکز به پره اعمال شده است. ضربی اطمینان تخریب، در مدل فلزی بر اساس معیار تنش فون-مایز و در مدل کامپوزیتی با استفاده از معیار حدکثر تنش در لایه‌ی بحرانی محاسبه شده است. با توجه به اینکه در سازه‌ی کامپوزیتی ضربی اطمینان برای لایه‌ی بحرانی محاسبه می‌شود، در مدل المان محدود با انجام آنالیز مودال و استخراج فرکانس‌های طبیعی و برسی پایداری آیروالاستیکی سازه، ضربی اطمینان پایداری برابر ۱,۳۹ محاسبه شده است. در روش تحلیلی نمودار مربوط به تغییر فرکانس‌های طبیعی سیستم در اثر تغییر سرعت سیال ترسیم و بر اساس نمودار کوپل خمش و پیچش، سرعت فلاٹر تعیین و با در نظر گرفتن سرعت عملکرد توربین، ضربی اطمینان پایداری آیروالاستیکی برابر ۱,۳۸ محاسبه شد. اختلاف ناچیز بین ضربی اطمینان در دو حالت، تحلیلی و عددی نشان دهنده صحت مدلسازی المان محدود و دقت تحلیل دوبعدی مقطع پره است. همچنین در تمامی مراحل، ضربی اطمینان قابل قبول بود و نشان دهنده پایداری و ایمنی سازه‌ی پره‌ی کامپوزیتی در حالت استاتیکی، دینامیکی و پایداری آیروالاستیکی می‌باشد.

۵- تشکر و قدردانی

نویسنده‌گان مقاله مراتب تشکر و قدردانی خود را از معاونت محترم پژوهشی دانشگاه کاشان بابت حمایت از نویسنده‌گان این مقاله با ابلاغ پژوهانه ۰۸۰۸۲۵۵۹۸۰ اعلام می‌دارند.

مراجع

- [1] Fung, Y. C., "An Introduction To The Theory Of Aeroelasticity", Dover Publication, Inc. New York, 1955.
- [2] JAR-23, "Joint Aviation Requirements", 11 March 1994.
- [3] Shokrieh, M. M., Taheri-berooz, F., "Wing instability of a full composite aircraft", Journal of Composite Structures, Vol. 54, pp. 335-340, 2001.
- [4] Baumgart, A., "A mathematical model for wind turbine blades", Journal of Sound And Vibration, Vol. 251, pp.1-12, 2002.